

FIG. 1

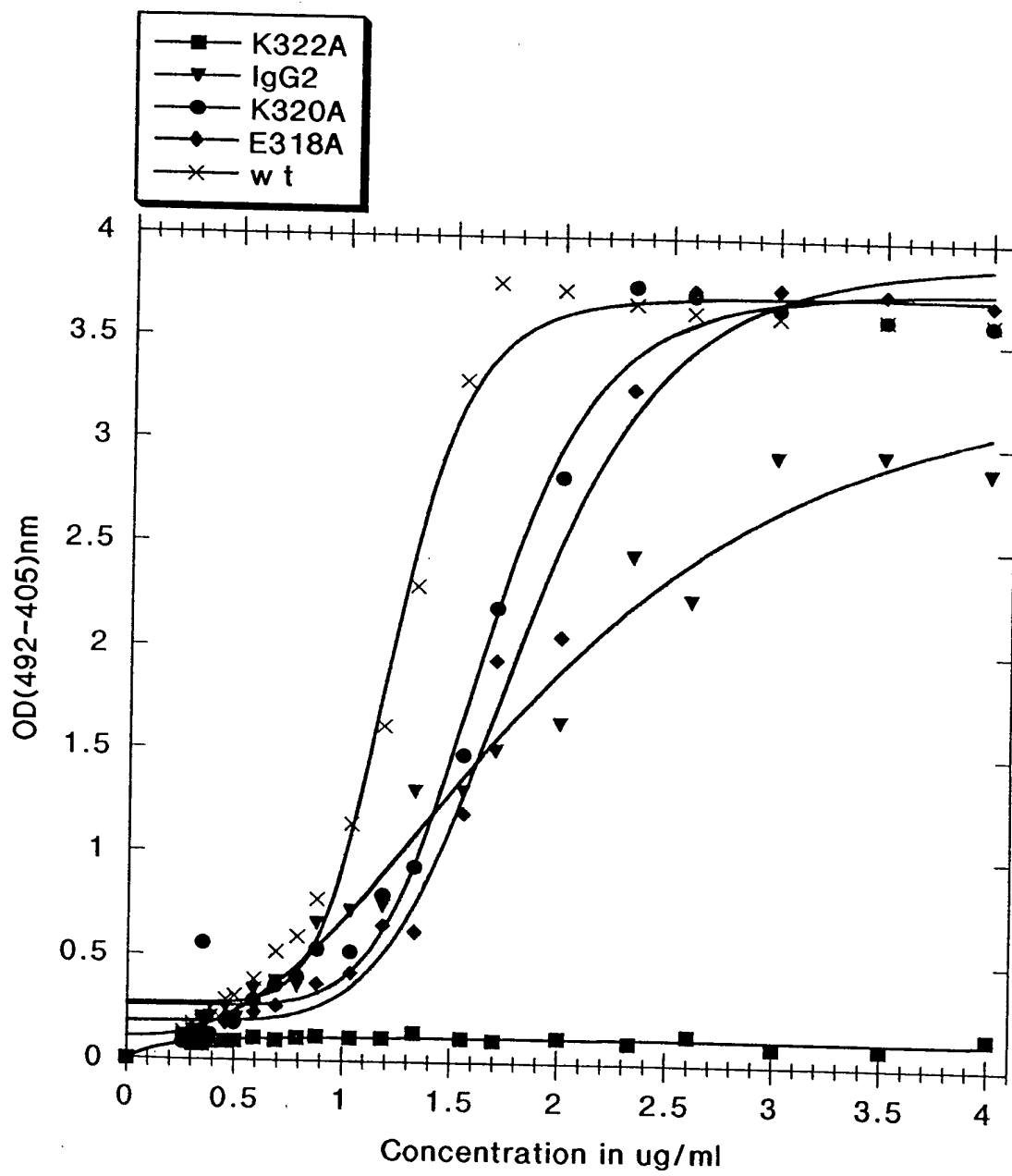


FIG. 2

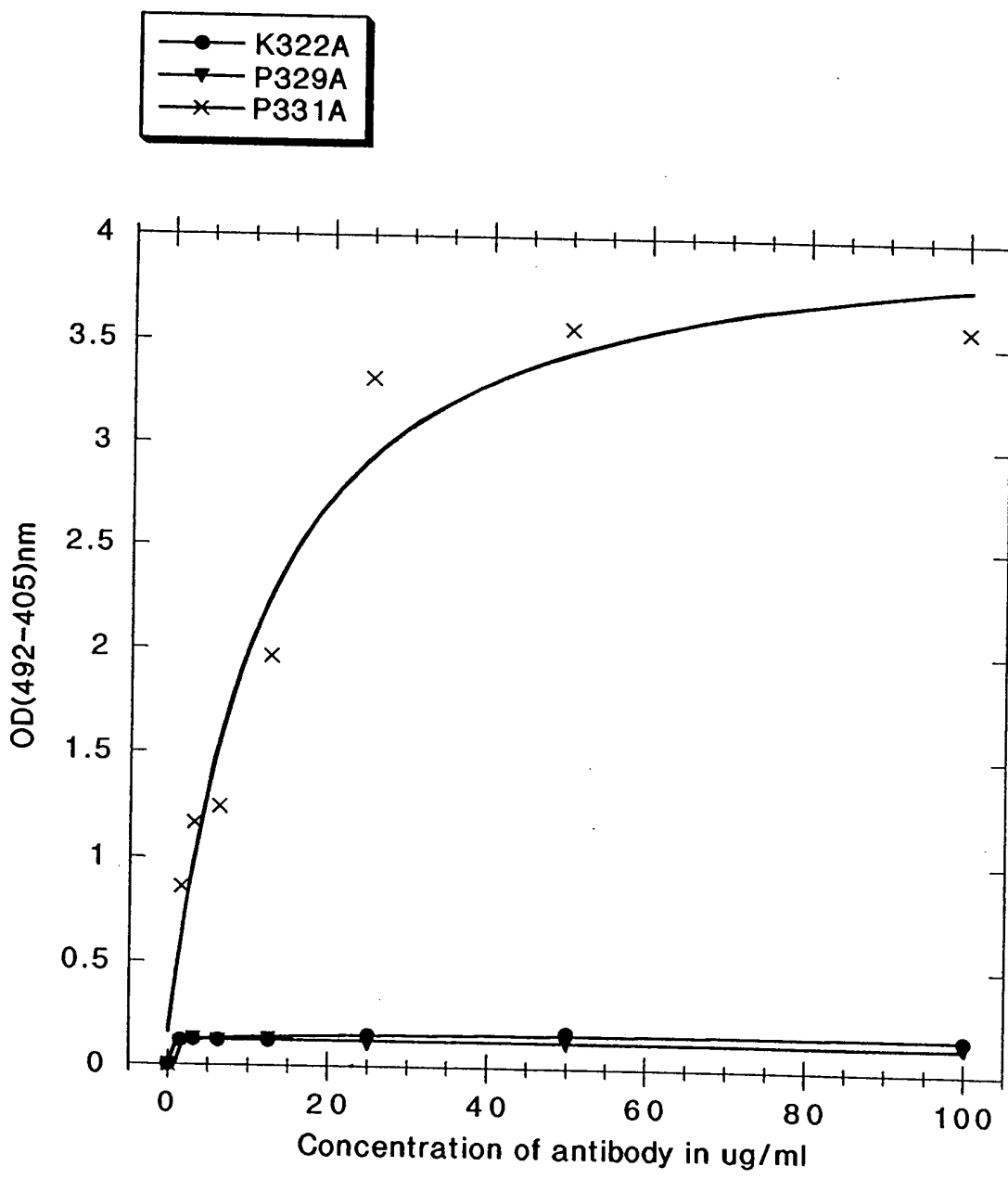


FIG. 3

FIG. 4A (E27) - Light Chain

DIQLTQSPSS LSASVGDRVT ITCRASKPVD GEGDSYMNWY QQKPGKAPKL LIYAASTYLES GVPSRFSGS
SGTDFITLIS SLQPEDFATY YCQQQSHEDPY TFGQGTKVEI KRTVAAPSVF IFPPSDEQLK SGTASVVCLL
NNFYPREAKV QWKVDNALQS GNSQESVTEQ DSKDSTSLSL STLTLSKADY EKHKVYACEV THQGLSSSPVT
KSFNRGEC

FIG. 4B (E27) - Heavy Chain

EVQLVESGGG LVQPGGSLRL SCAVSGYSIT SGYSWNWIRQ APGKGLEWVA SIKYSGETKY NPSVKGRITI
SRDDSKNTFY LQMNSLRAED TAVYYCARGS HYFGHHWFAV WQQGTLVTVS SASTKGPSVF PLAPSSKSTS
GGTAALGCLV KDIYFPEPVTV SWNSGALTSG VHTFPAVLQS SGLYSISSLSSV TVPSSSLGTQ TYICNNTNHP
SNTKVDKKVE PKSCDKTHTC PPCPAPELLG GPSVFLFPPK PKDTLIMISRT PEVTCVVVDV SHEDPEVKFN
WYVDGVEVHN AKTKPREEQY NSTYRVVSVL TVLHQDWLNG KEYKCKVSNK ALPAPIEKTI SKAKGQPREP
QVYTLPPSRE EMTKNQVSLT CLVKGFYPSD IAVEWESNGQ PENNYKTTTPP VLDSDGSSFFL YSKLTVDKSR
WQQGNVFSCS VMHEALTHY TQKSLSLSPG K

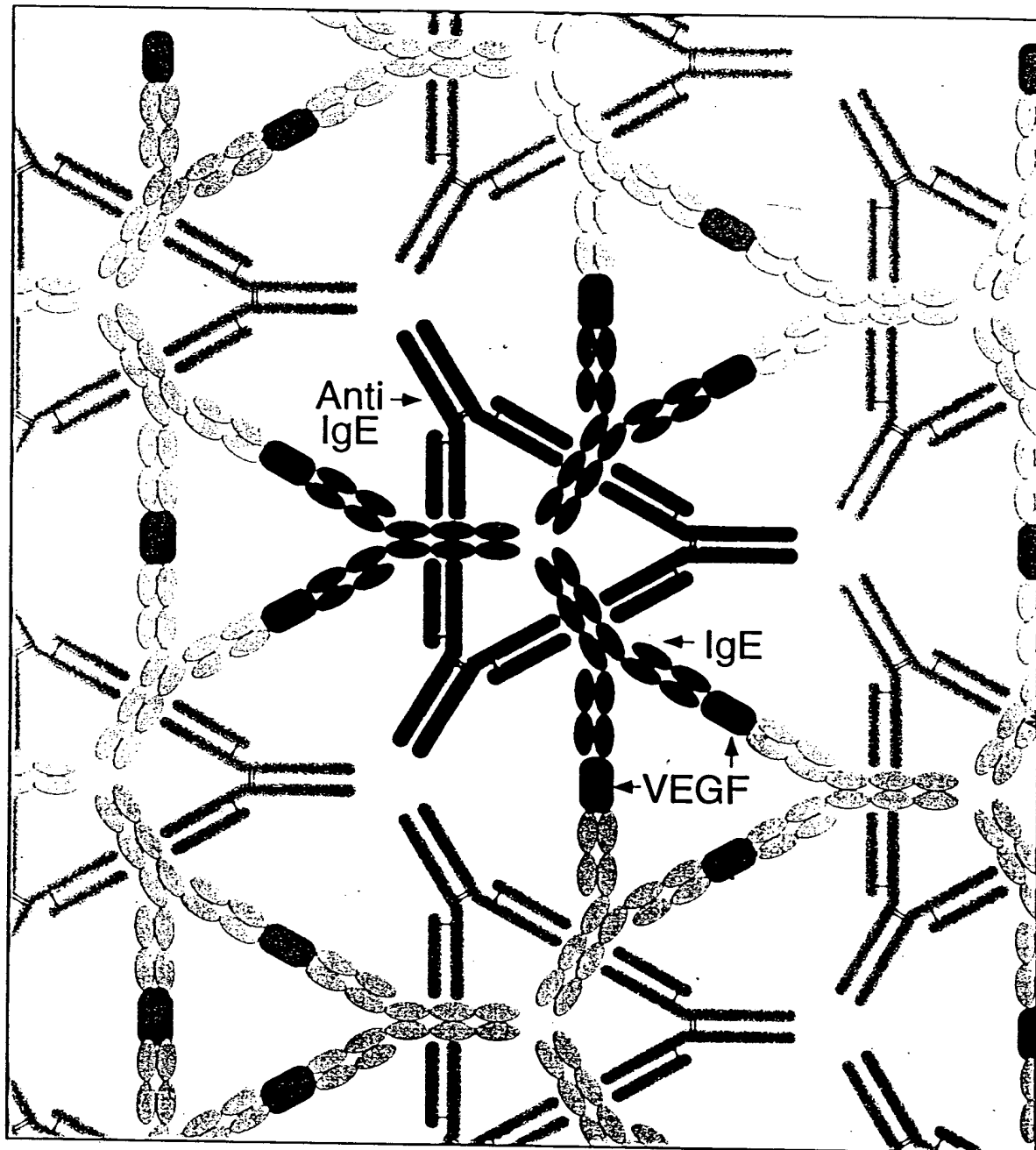


Fig. 5

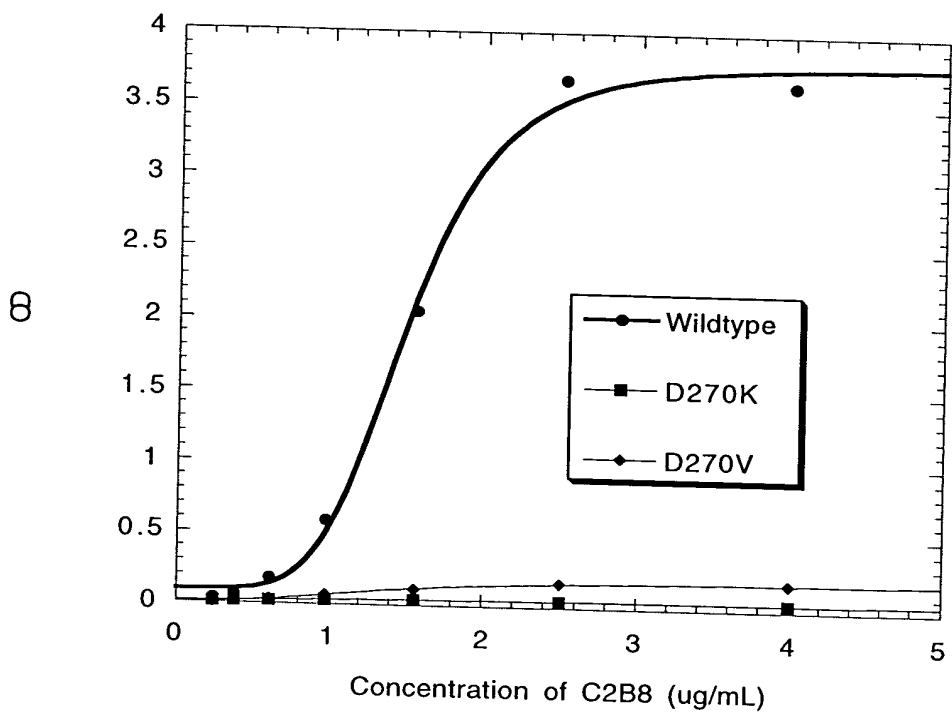


FIG. 6

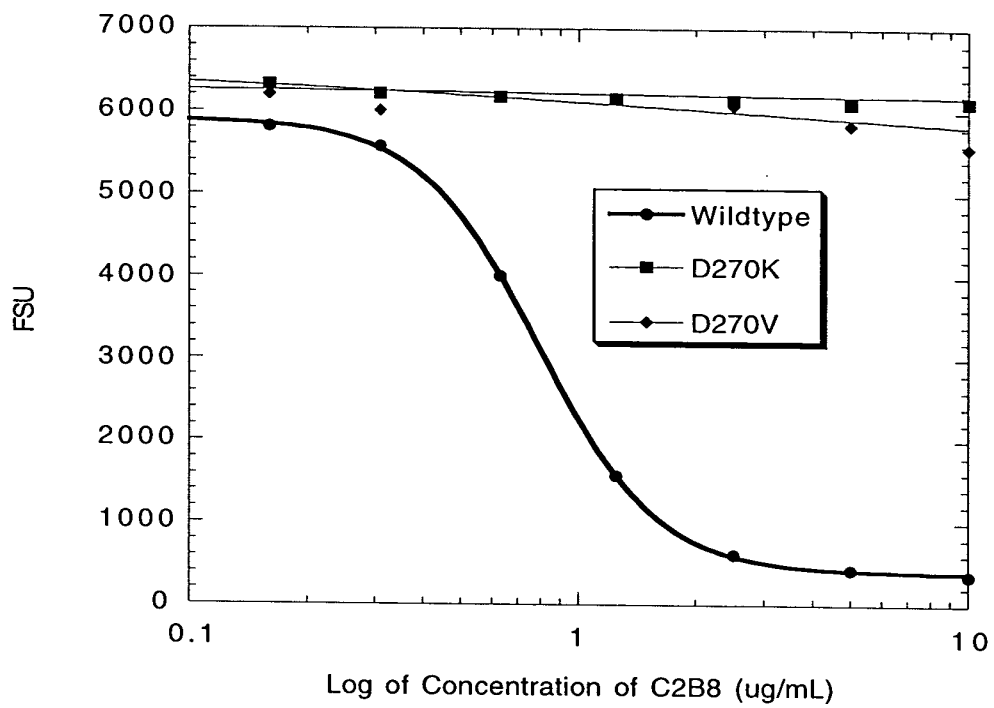


FIG. 7

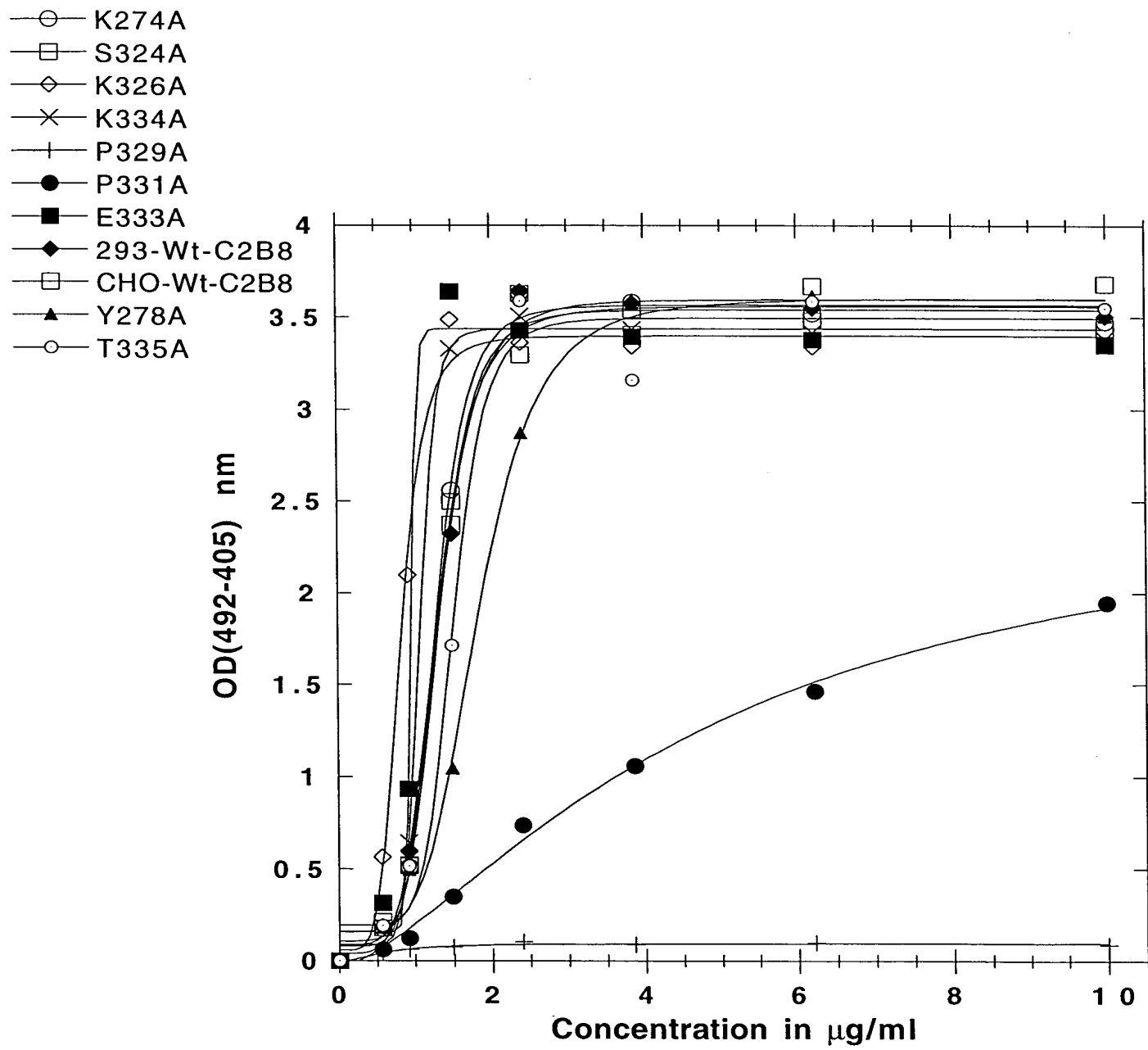


FIG. 8

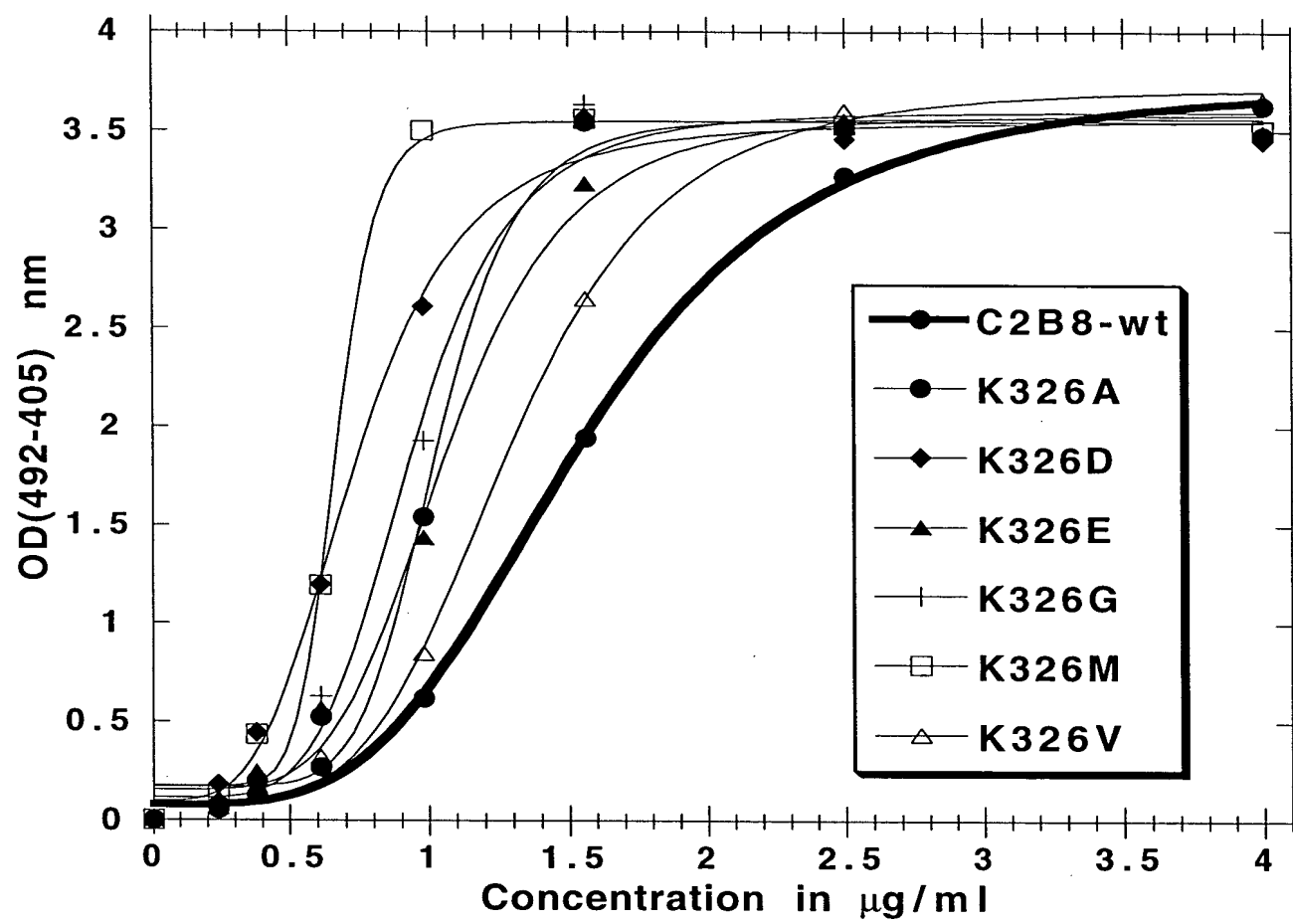


FIG. 9

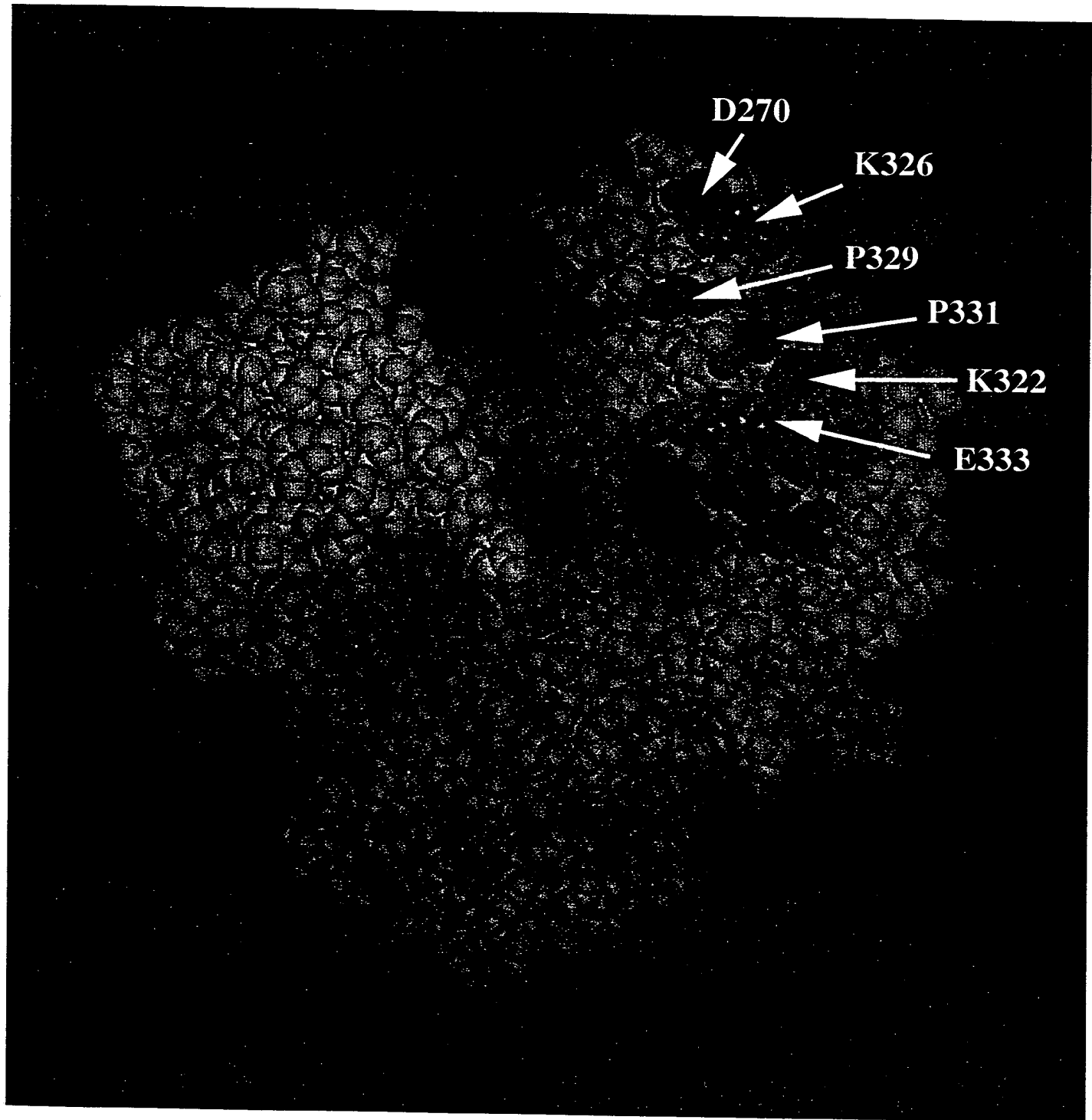


FIG. 10

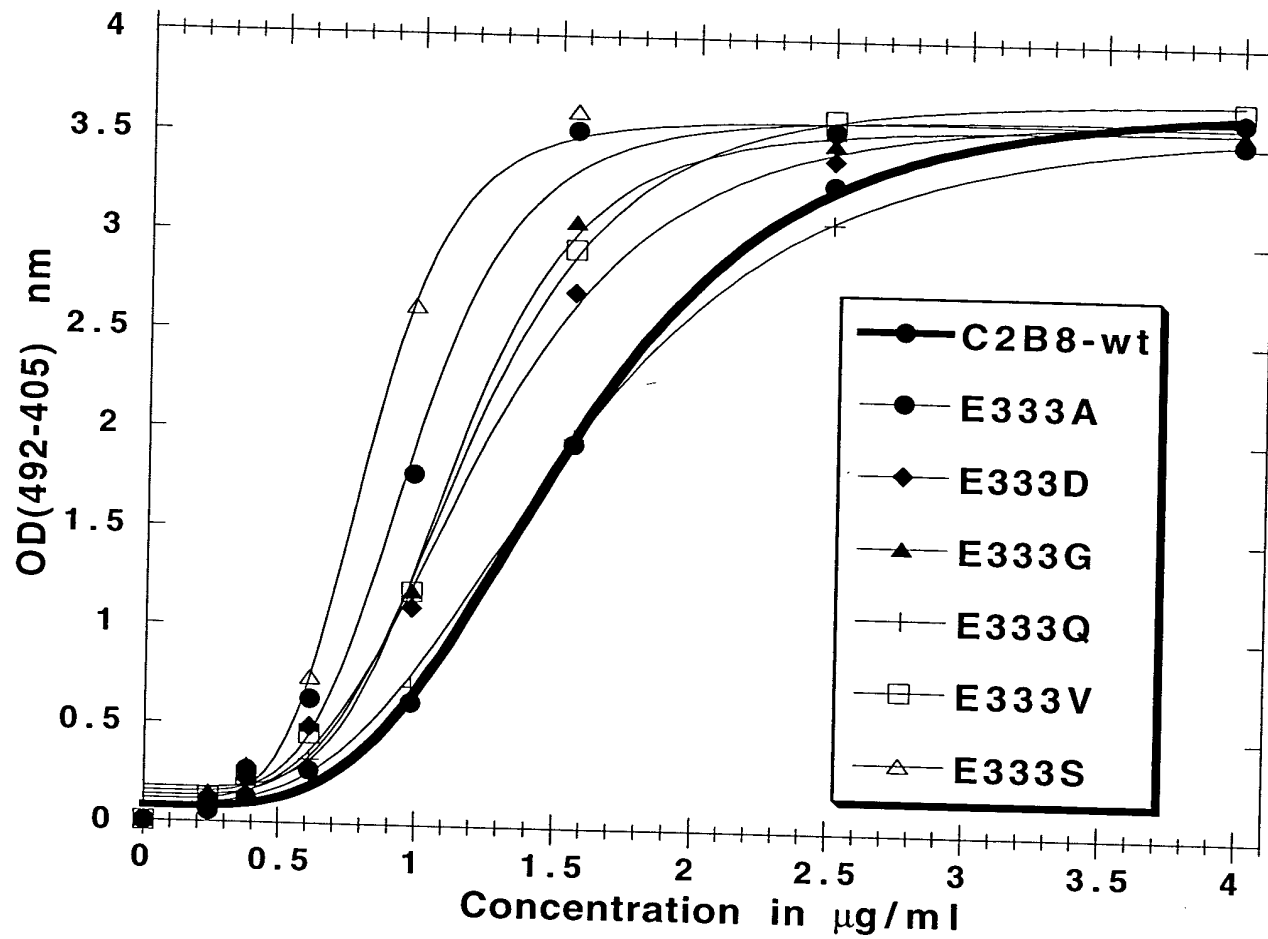


FIG. 11

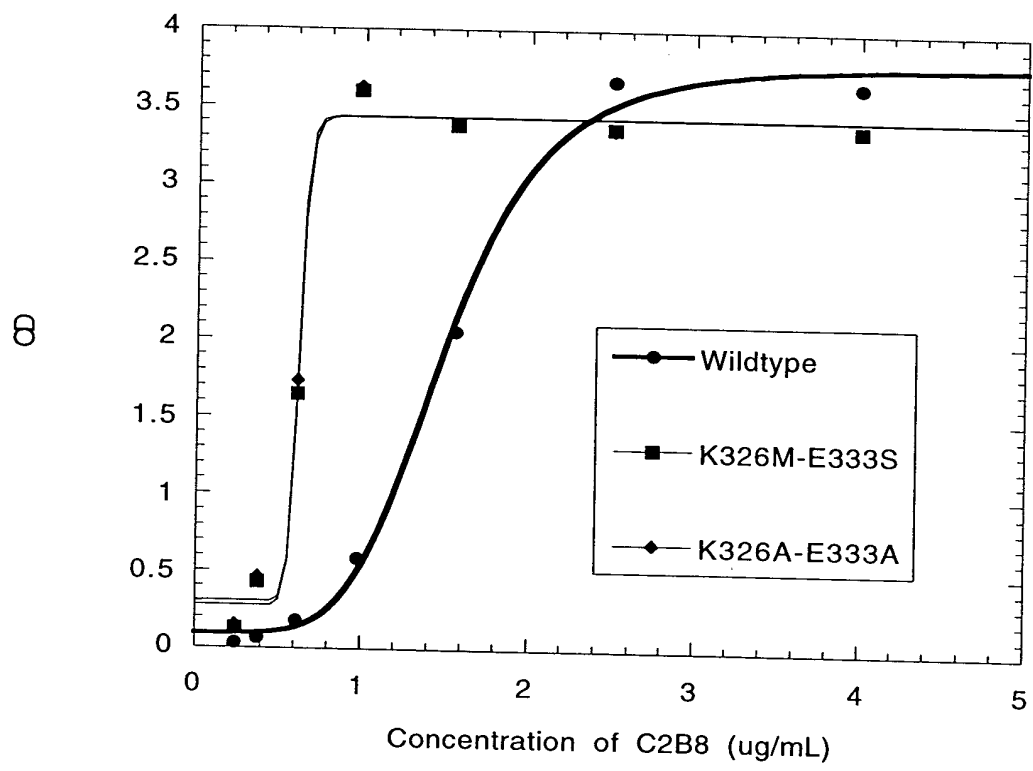


FIG. 12

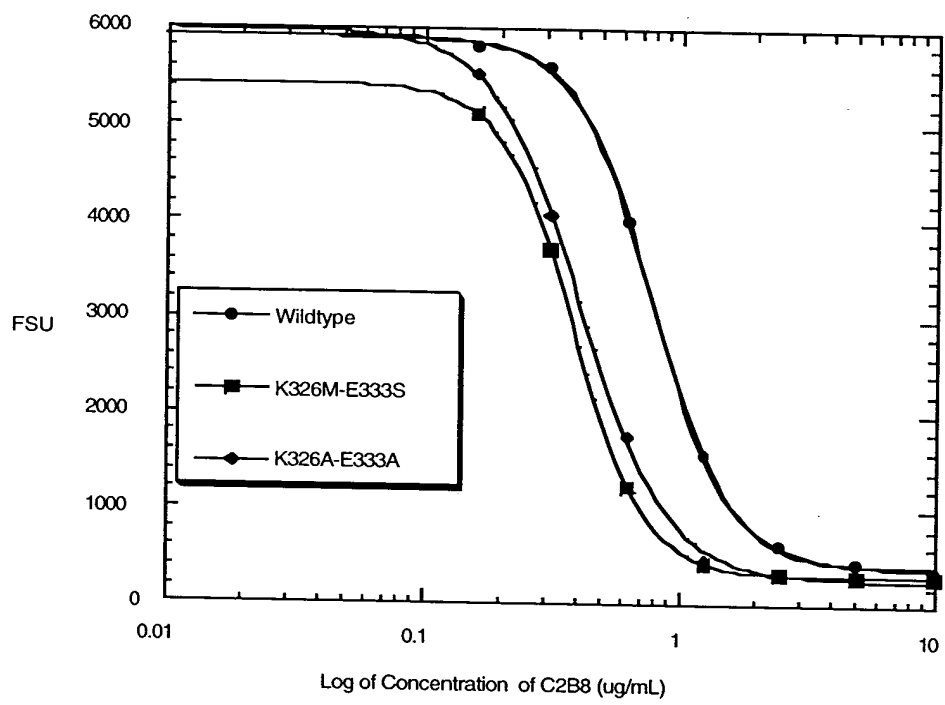


FIG. 13

EC50 of wt-C2B8 = 1.54
EC50 of A327g (C2B8) = 1.08

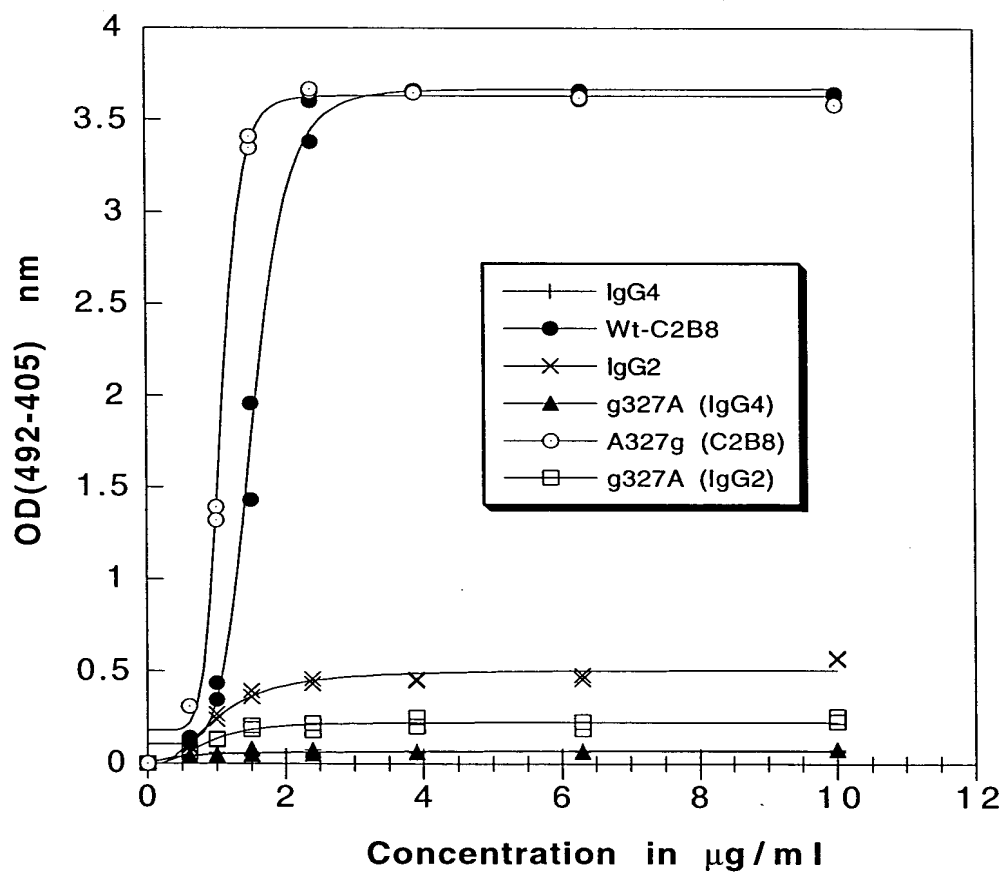
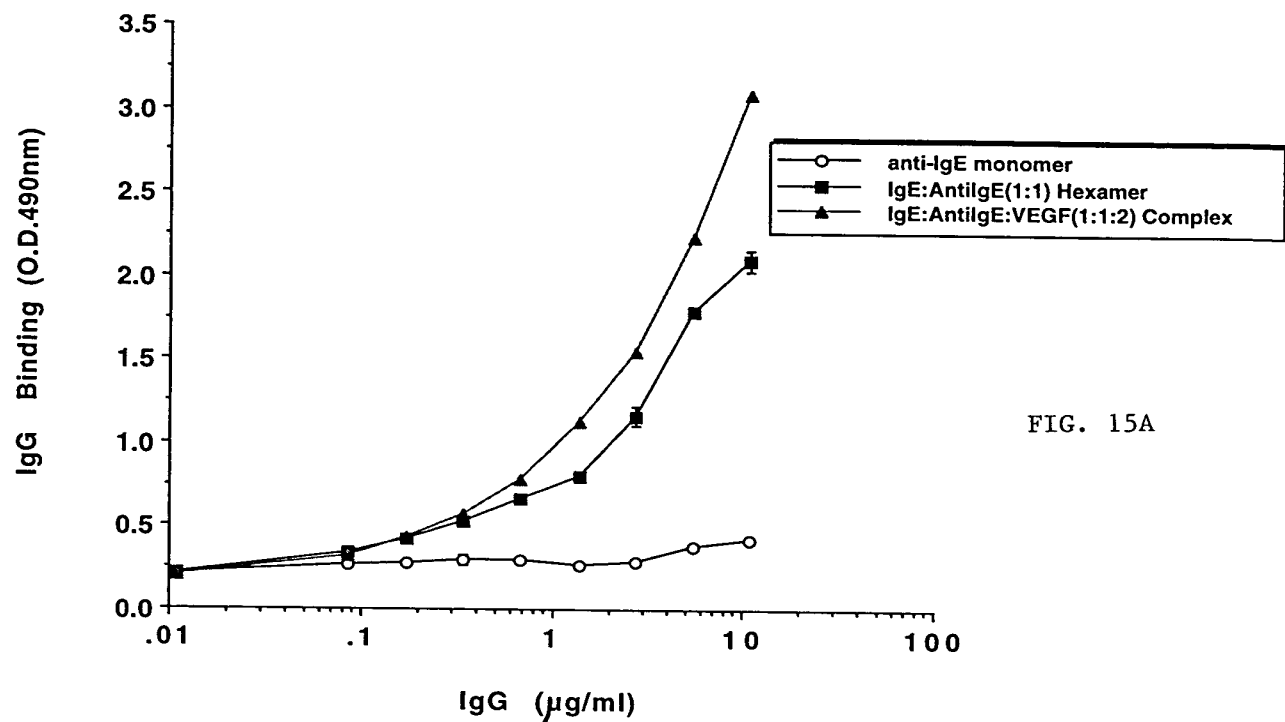
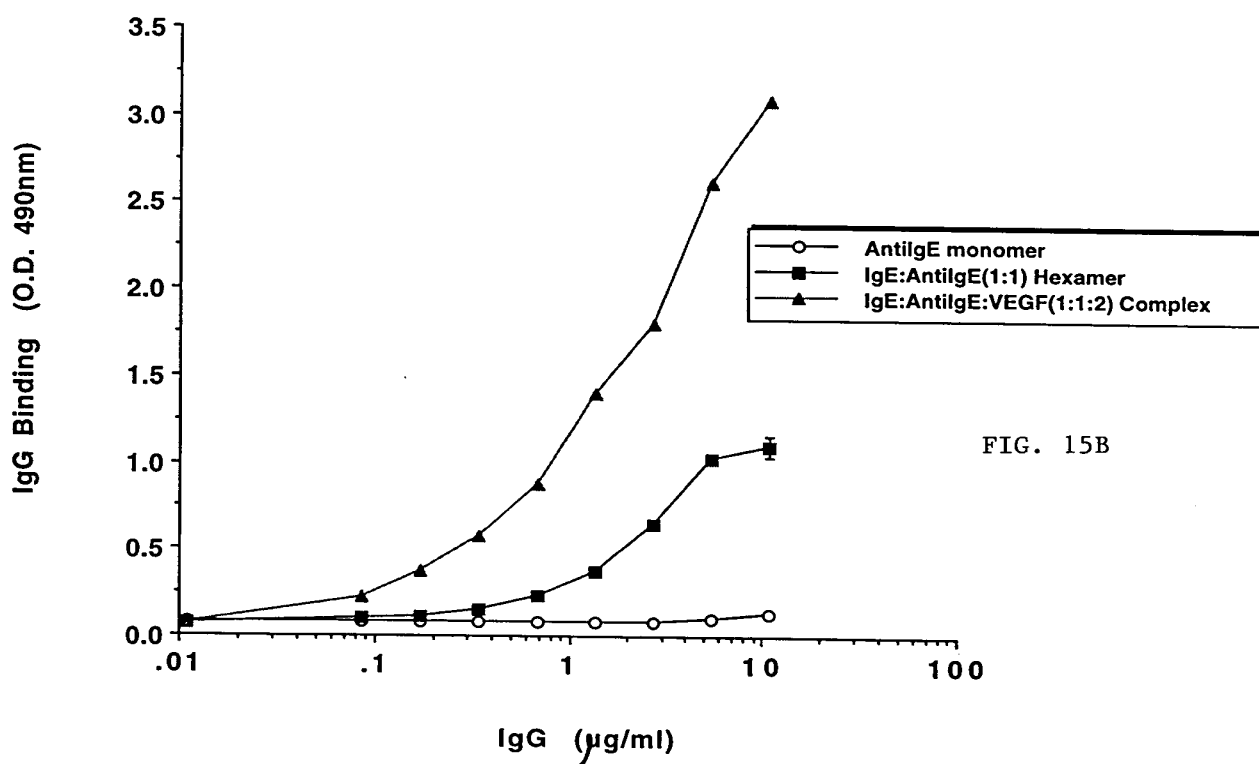


FIG. 14

Fc γ RIIB



Fc γ RIIA



$F_{c\gamma}RIIA$

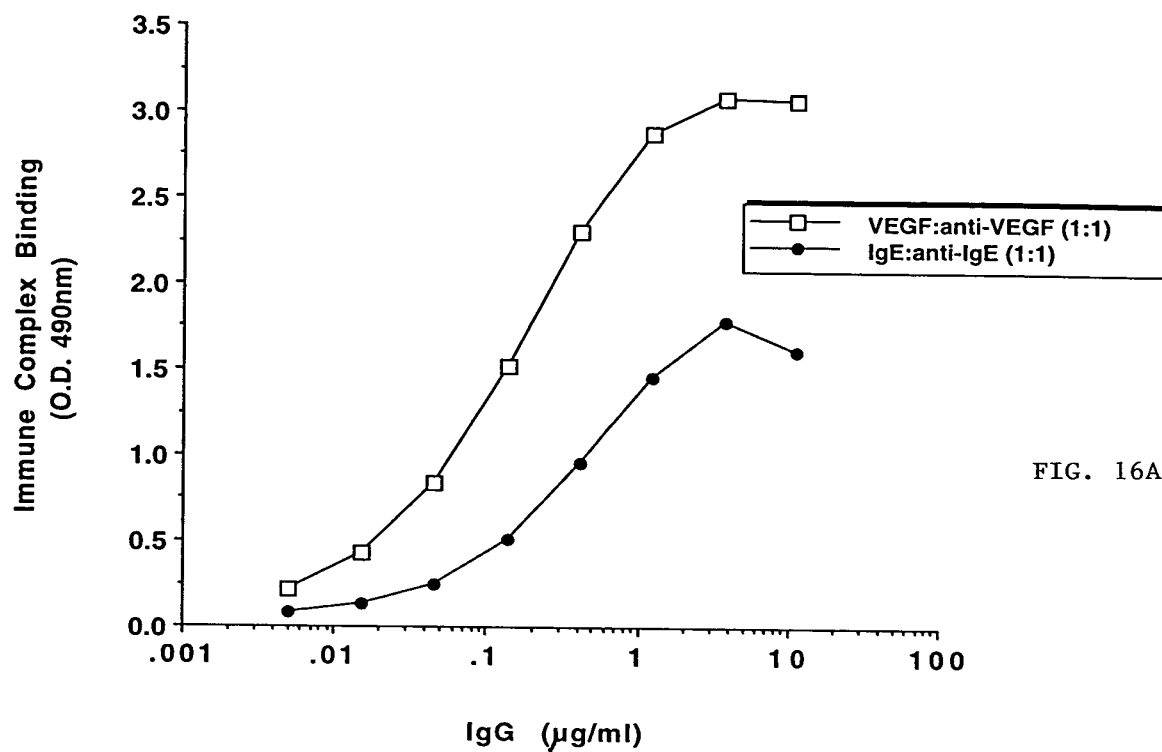


FIG. 16A

$F_{c\gamma}RIIIA$

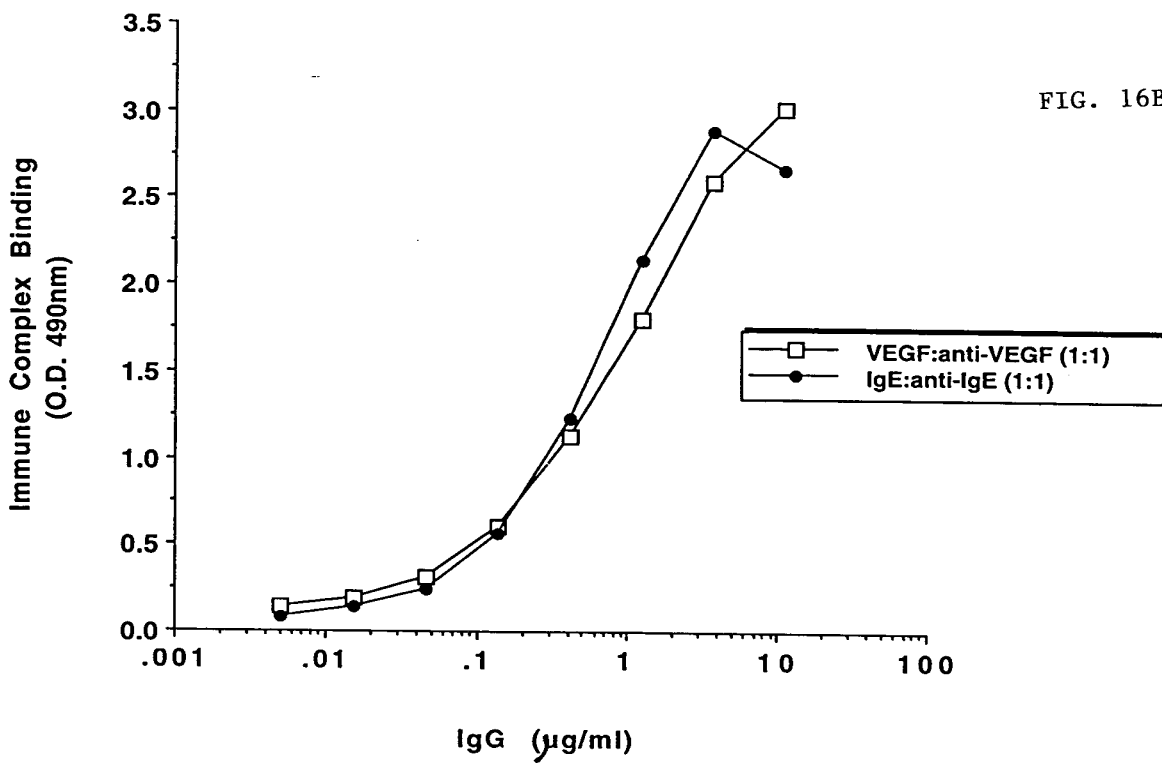


FIG. 16B

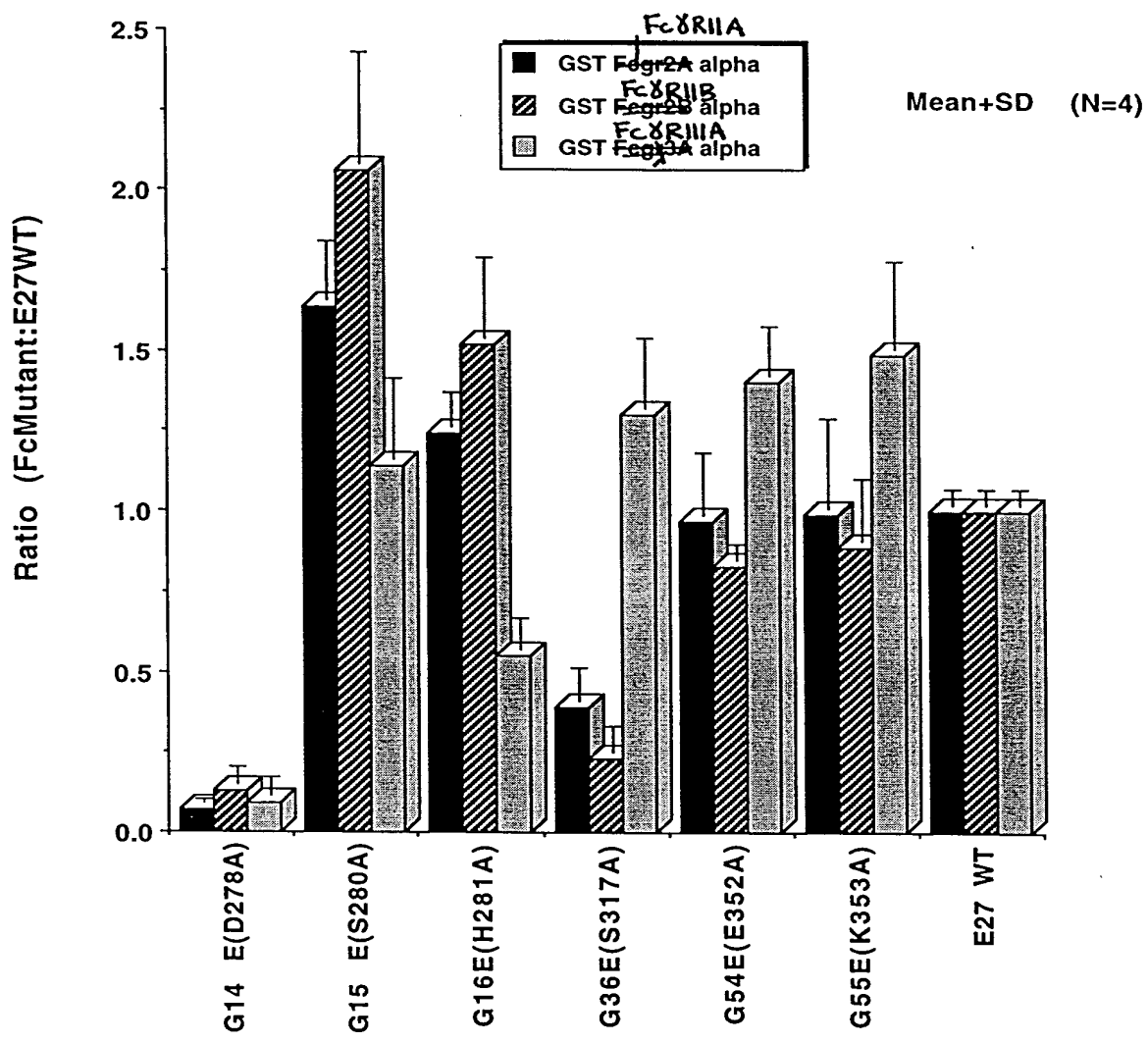


FIG. 17

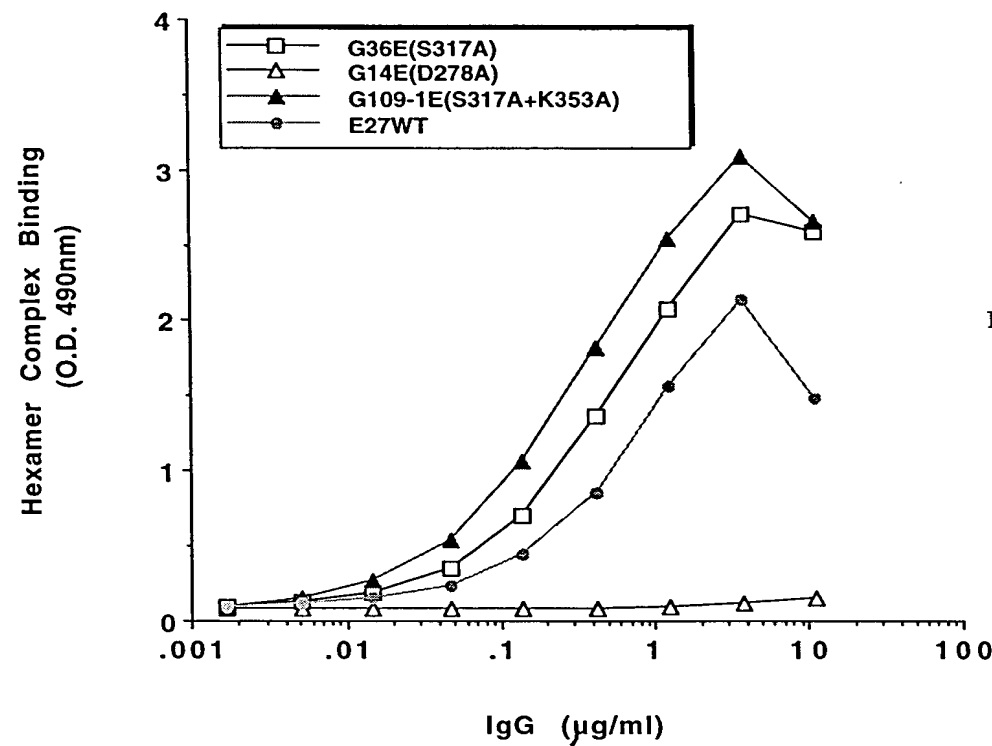


FIG. 18A

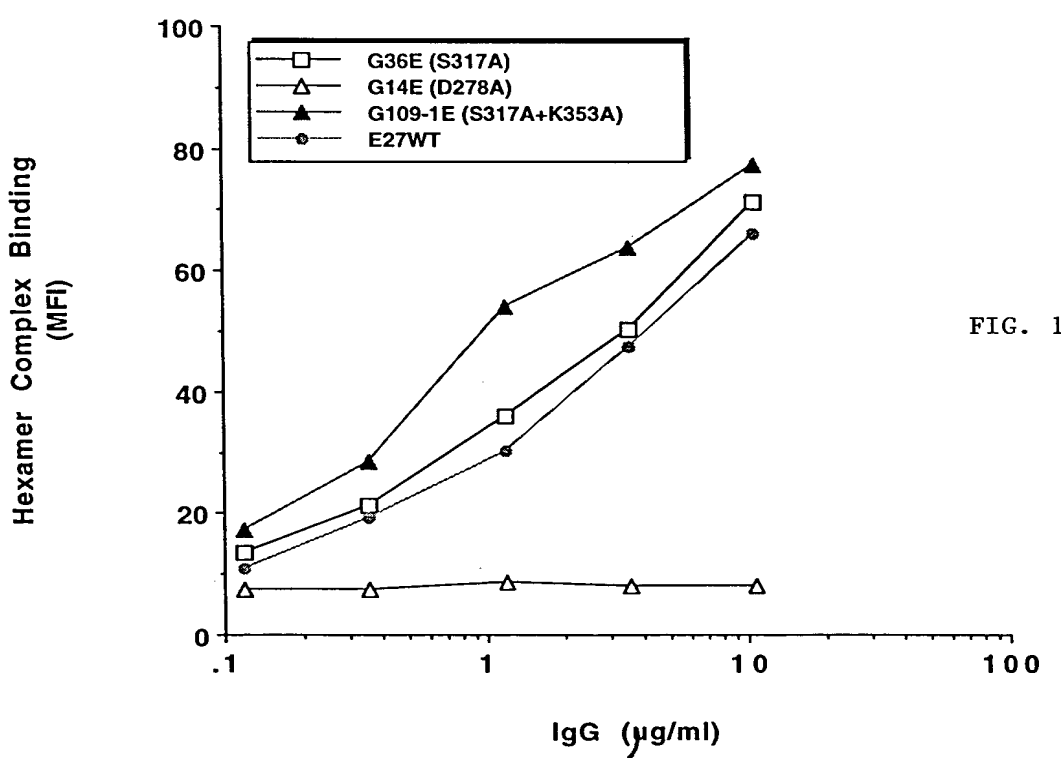


FIG. 18B

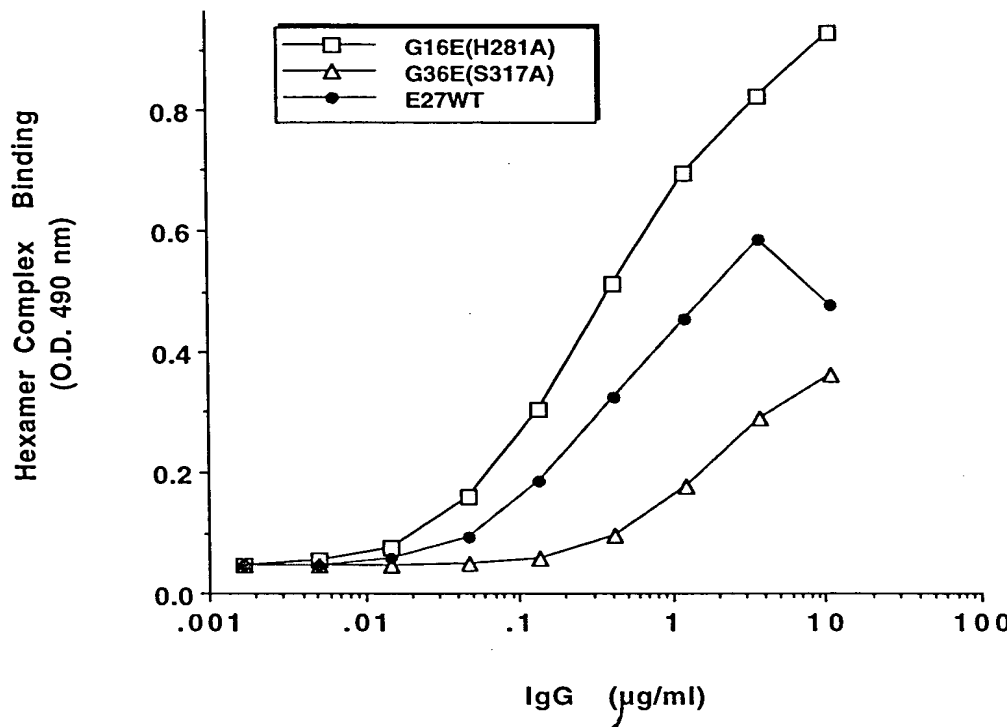


FIG. 19A

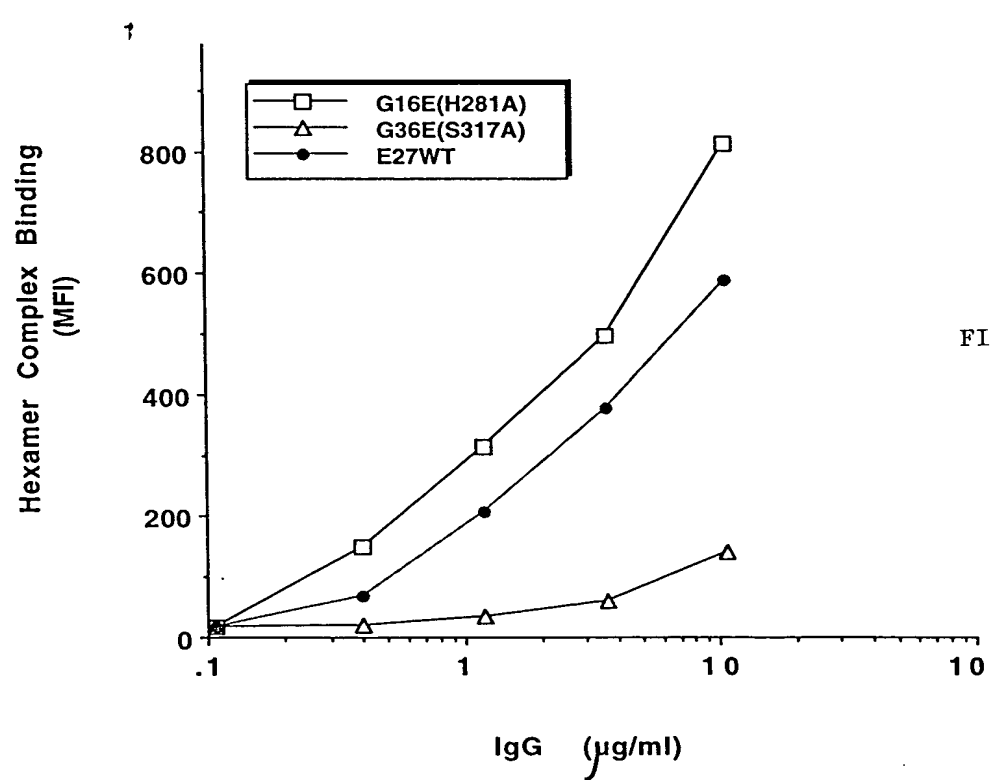


FIG. 19B

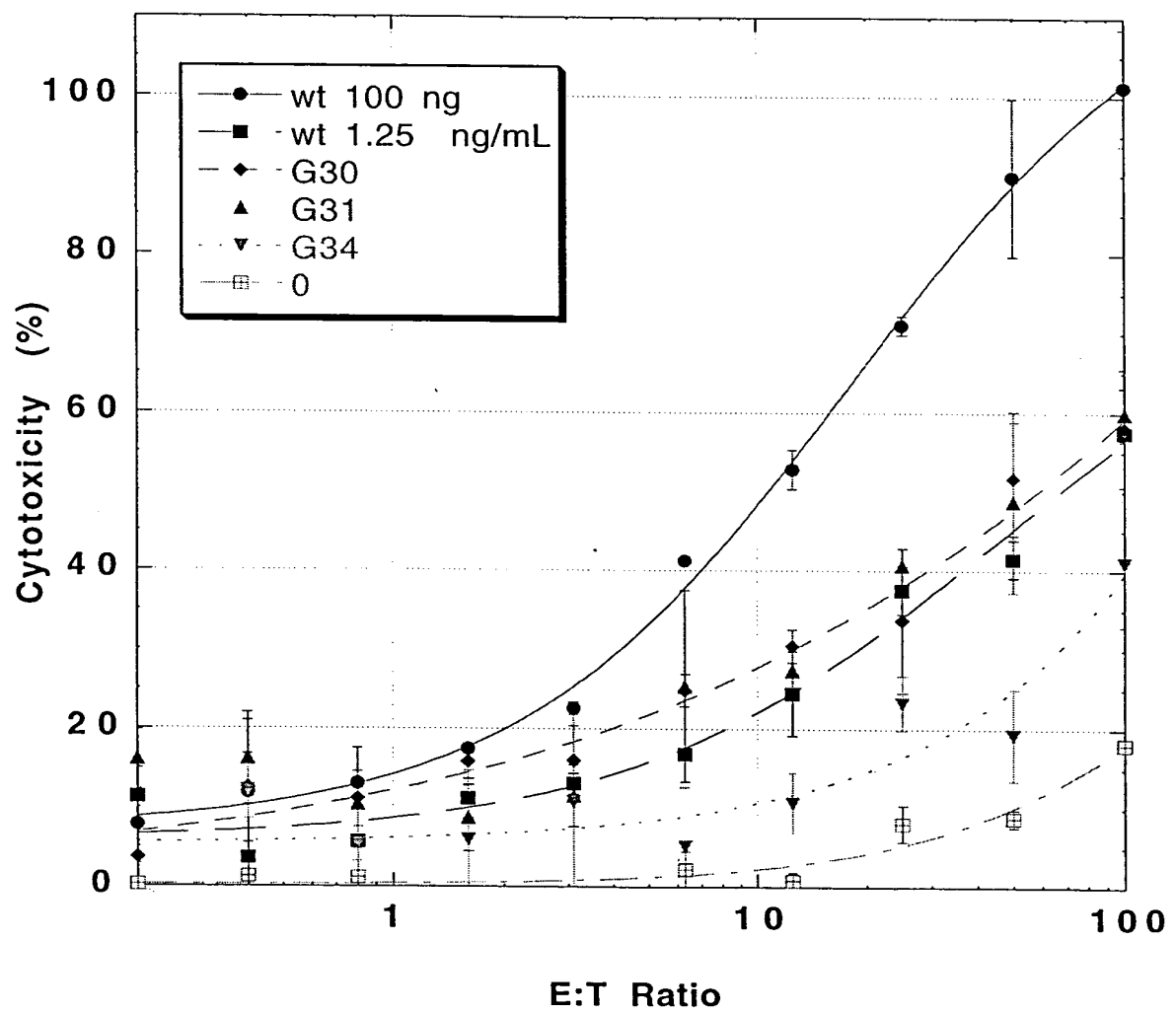


FIG. 20

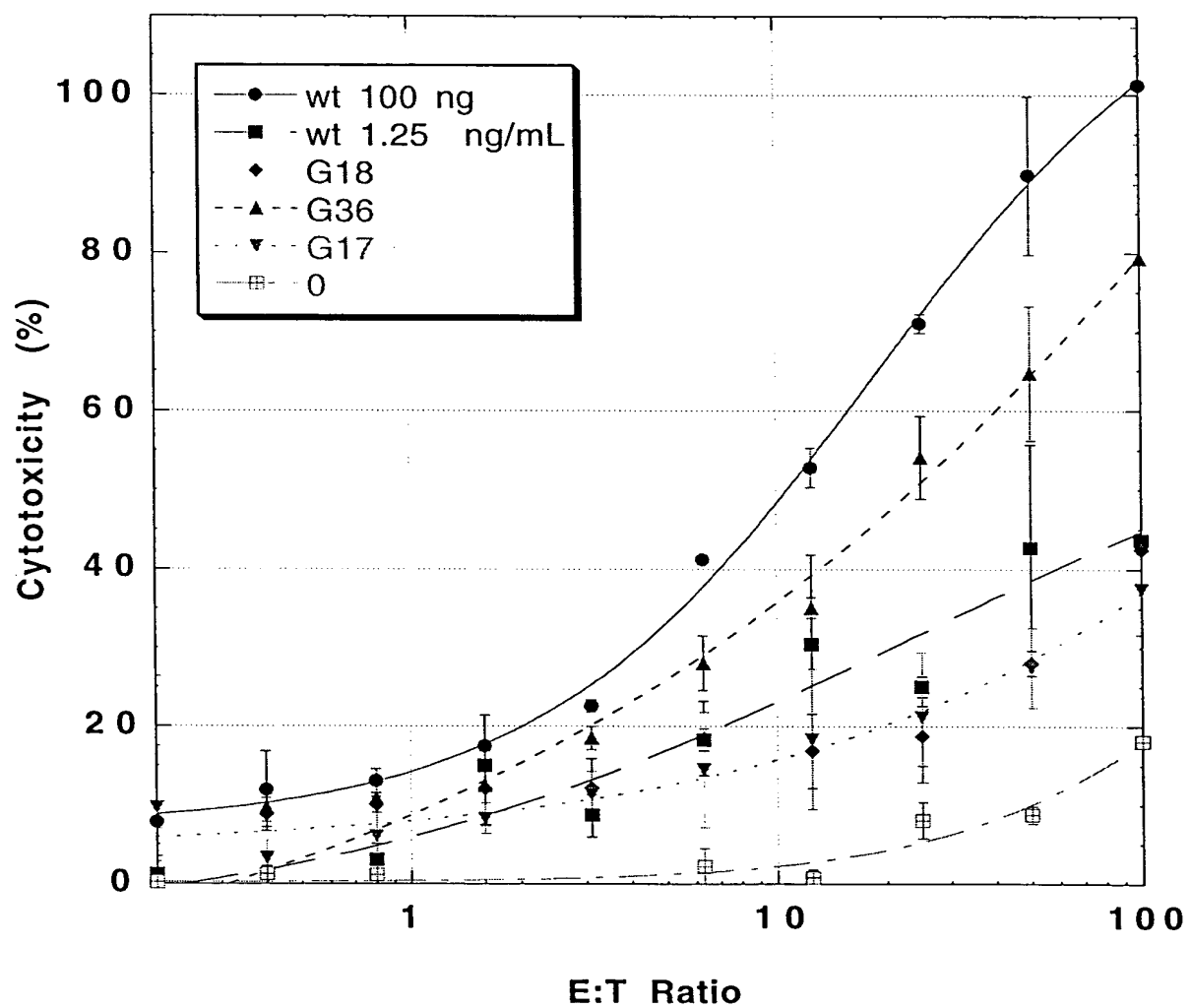


FIG. 21

	230	240	250	260	270
humIgG1	PAPELLGGPSVFLFPPPKPKDTLMISRTPEVTCVVVDVSHEDPEVKFNWyV				
humIgG2	PAP-PVAGPSVFLFPPPKPKDTLMISRTPEVTCVVVDVSHEDPEVQFNWyV				
humIgG3	PAPELLGGPSVFLFPPPKPKDTLMISRTPEVTCVVVDVSHEDPEVQFKWyV				
humIgG4	PAPEFLGGPSVFLFPPPKPKDTLMISRTPEVTCVVVDVQSQEDPEVQFNWyV				
murIgG1	---TVPEVSSVFIFPPPKPKDTVLITLTPKVTCVVVDISKDDPEVQFSWFV				
murIgG2A	PAPNLLGGPSVFIFFFFPKIKDVLMIISLSPIVTCVVVDVSEDDPDVQISWFV				
murIgG2B	PAPNLEGGPSVFIFFFFNIKDVLMIISLTPKVTCVVVDVSEDDPDVQISWFV				
murIgG3	PPGNILGGPSVFIFFFFPKDALMIISLTPKVTCVVVDVSEDDPDVHVSWFV				
	280	290	300	310	320
humIgG1	DGVEVHNNAKTKPREEQYNSTYRVVSVLTVLHQDWLNGKEYKCKVSNKALP				
humIgG2	DGVEVHNNAKTKPREEQFNSTFRVVSVLTVVHQDWLNGKEYKCKVSNKGLP				
humIgG3	DGVEVHNNAKTKPREEQFNSTFRVVSVLTVLHQDWLNGKEYKCKVSNKALP				
humIgG4	DGVEVHNNAKTKPREEQFNSTYRVVSVLTVLHQDWLNGKEYKCKVSNKGLP				
murIgG1	DDVEVHTAQTOQPREEQFNSTFRSVSELPIMHQDCLNGKEFKCRVNSAAFP				
murIgG2A	NNVEVHTAQTOQTHREDYNSTLRVVSALPIQHQDWMSGKEFKCKVNNKDLP				
murIgG2B	NNVEVHTAQTOQTHREDYNSTIRVVSALPIQHQDWMSGKEFKCKVNNKDLP				
murIgG3	DNKEVHTAWTQPREAQYNSTFRVVSALPIQHQDWMRGKEFKCKVNNKALP				
	330	340	350	360	370
humIgG1	APIEKTISKAKGQPREPQVYTLPPSREEMTKNQVSLTCLVKGFYPSDIAV D L				
humIgG2	APIEKTISKKGQPREPQVYTLPPSREEMTKNQVSLTCLVKGFYPSDIAV				
humIgG3	APIEKTISKKGQPREPQVYTLPPSREEMTKNQVSLTCLVKGFYPSDIAV				
humIgG4	SSIEKTISKAKGQPREPQVYTLPPSQEEMTKNQVSLTCLVKGFYPSDIAV				
murIgG1	APIEKTISKTKGRPKAPQVYTIFFFFKEQMAKDKVSLTCMITDFFPEDITV				
murIgG2A	APIERTISKPKGSVRAPQVYVLPPEEEEMTKQVTLTCMVTDFMPEDIYV				
murIgG2B	SPIERTISKPKGLVRAPIQVYTLPPPAEQLSRKDVSLLTCLVVGFNPDISV				
murIgG3	APIERTISKPKGRAQTPQVYTIFFFFPREQMSKKVSLTCLVTNFFSEAISV				
	380	390	400	410	420
humIgG1	EWESNGQPENNYKTTPPVLDSDGSFFLYSKLTVDKSRWQQGNVFSCSVMH				
humIgG2	EWESNGQPENNYKTTPPMLSDGSFFLYSKLTVDKSRWQQGNVFSCSVMH				
humIgG3	EWESSGQPENNYNTTPMLSDGSFFLYSKLTVDKSRWQQGNIFSCSVMH				
humIgG4	EWZSNGQPENNYKTTPPVLDSDGSFFLYSRLTVDKSRWQEGNVFSCSVMH				
murIgG1	EWQWNGQPAENYKNTQPIMDTDGSYFVYSKLNQKSNWEAGNTFTCSVH				
murIgG2A	EWTNNGKTELNYKNTEPVLDSDGSYFMYSKLRVEKKNVERNSYSCSVVH				
murIgG2B	EWTSGNGHTEENYKDTAPVLDSDGSYFIYSKLNMKTSKWEKTDSCNVRH				
murIgG3	EWERNGELEQDYKNTPPILDSDGTYFLYSKLTVDTSWLNQGEIFTCSVVH				
	430	440			
humIgG1	EALHNHYTQKSLSLSPGK				
humIgG2	EALHNHYTQKSLSLSPGK				
humIgG3	EALHNRFQKSLSLSPGK				
humIgG4	EALHNHYTQKSLSLSLGK				
murIgG1	EGLHNHHTEKSLSHSPGK				
murIgG2A	EGLHNHHTTKSFSRTPGK				
murIgG2B	EGLKNYYLKKTISRSPGK				
murIgG3	EALHNHHTQKNLRSRSPGK				

FIG. 22A

Percent Identity Among Fc Sequences

	1	2	3	4	5	6	7	8
1. humIgG1	-	94	94	94	64	66	63	68
2. humIgG2		-	93	92	65	63	60	67
3. humIgG3			-	91	64	64	61	67
4. humIgG4				-	62	64	61	64
5. murIgG1					-	65	61	67
6. murIgG2A						-	77	70
7. murIgG2B							-	68
8. murIgG3								-

FIG. 22B

	230	240	250	260	270
humIgG1	PAPELLGGPSVFLFPPPKPKDTLMISRTPEVTCVVVDVSHEDPEVKFNWYV				
humIgG2	PAP-PVAGPSVFLFPPPKPKDTLMISRTPEVTCVVVDVSHEDPEVQFNWYV				
humIgG3	PAPELLGGPSVFLFPPPKPKDTLMISRTPEVTCVVVDVSHEDPEVQFKWYV				
humIgG4	PAPEFLGGPSVFLFPPPKPKDTLMISRTPEVTCVVVDVQSQEDPEVQFNWYV	****			***
	280	290	300	310	320
humIgG1	DGVEVHNAKTKPREEQYNSTYRVVSVLTVLHQDWLNGKEYKCKVSNKALP				
humIgG2	DGVEVHNAKTKPREEQFNSTFRVSVLTVVHQDWLNGKEYKCKVSNKGLP				
humIgG3	DGVEVHNAKTKPREEQFNSTFRVSVLTVLHQDWLNGKEYKCKVSNKALP				
humIgG4	DGVEVHNAKTKPREEQFNSTYRVVSVLTVLHQDWLNGKEYKCKVSNKGLP		***	*	*
	330	340	350	360	370
humIgG1	APIEKTISKAKGQPREPQVYTLPPSREEMTKNQVSLTCLVKGFYPSDIAV				
			D L		
humIgG2	APIEKTISKKGQPREPQVYTLPPSREEMTKNQVSLTCLVKGFYPSDIAV				
humIgG3	APIEKTISKKGQPREPQVYTLPPSREEMTKNQVSLTCLVKGFYPSDIAV				
humIgG4	SSIEKTISKAKGQPREPQVYTLPPSQEEMTKNQVSLTCLVKGFYPSDIAV	**	*	*	*
	380	390	400	410	420
humIgG1	EWESNGQPENNYKTTPPVLDSDGSFFLYSKLTVDKSRWQQGNVFSCSVMH				
humIgG2	EWESNGQPENNYKTTPPMLSDGSFFLYSKLTVDKSRWQQGNVFSCSVMH				
humIgG3	EWESSGQPENNYNTTPPMLSDGSFFLYSKLTVDKSRWQQGNIFSCSVMH				
humIgG4	EWESNGQPENNYKTTPPVLDSDGSFFLYSRLTVDKSRWQEGNVFSCSVMH	*	*	*	*
	430	440			
humIgG1	EALHNHYTQKSLSLSPGK				
humIgG2	EALHNHYTQKSLSLSPGK				
humIgG3	EALHNRFTQKSLSLSPGK				
humIgG4	EALHNHYTQKSLSLSLGK	**	*		

FIG. 23

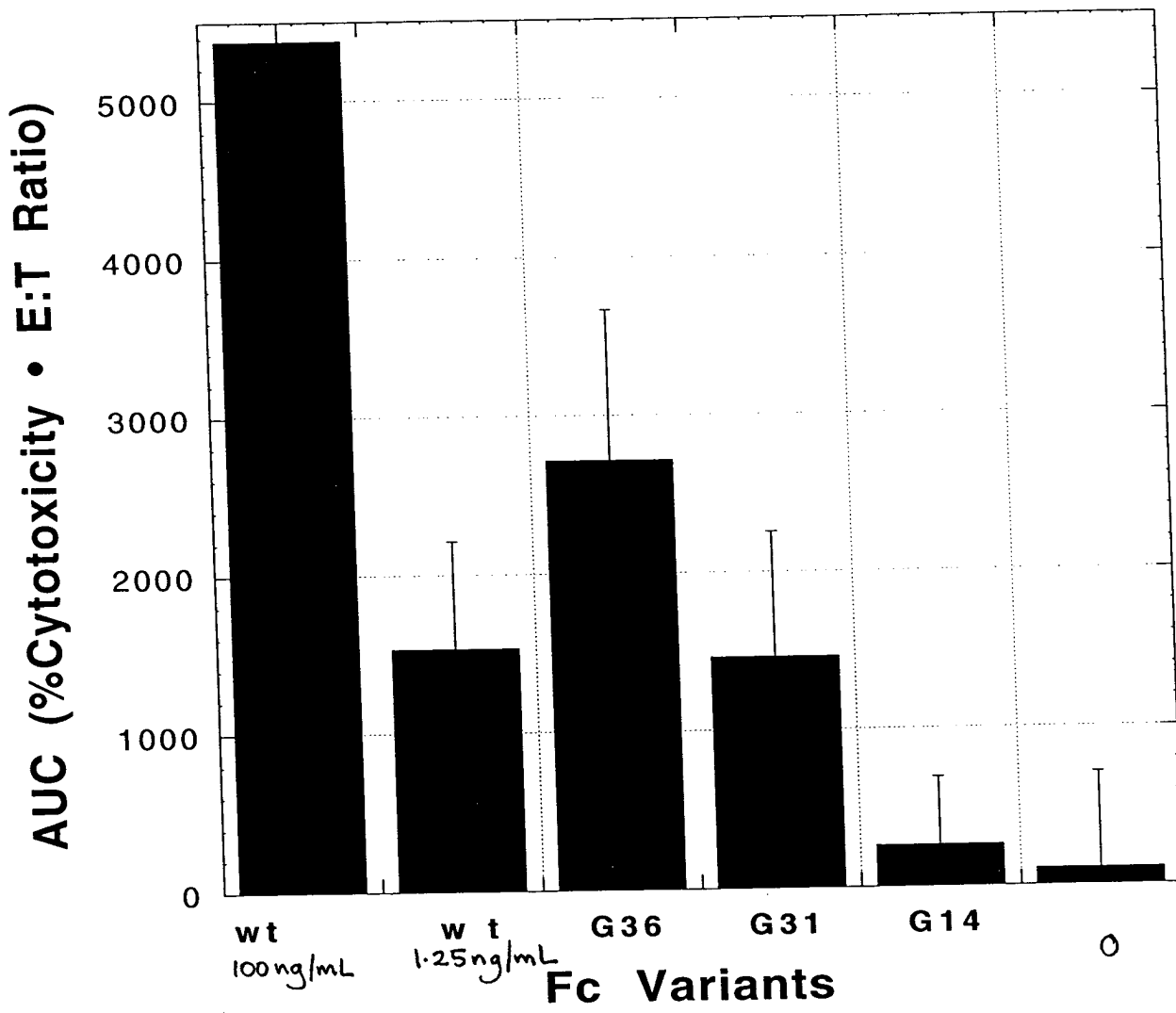


FIG. 24